

Starkniederschlagshöhen und -spenden gemäß KOSTRA-DWD-2010R

Auswertungszeitraum von 1951 - 2010, Januar - Dezember

Rasterfeld: 15029

Zeile: 15

Spalte: 29

Seite: 1/2

| Dauerstufe D | Wiederkehrzeit T | | | | | | | | | | | | | | | | | | |
|--------------|------------------|------|------------|------|------------|------|------------|------|------------|------|------------|------|------------|------|------------|-------|------------|-------|------------|
| | 1 a | | 2 a | | 3 a | | 5 a | | 10 a | | 20 a | | 30 a | | 50 a | | 100 a | | |
| min | Std | mm | l / (s ha) | mm | l / (s ha) | mm | l / (s ha) | mm | l / (s ha) | mm | l / (s ha) | mm | l / (s ha) | mm | l / (s ha) | mm | l / (s ha) | mm | l / (s ha) |
| 5 | | 4,8 | 160,0 | 6,4 | 213,3 | 7,3 | 243,3 | 8,4 | 280,0 | 10,0 | 333,3 | 11,5 | 383,3 | 12,4 | 413,3 | 13,6 | 453,3 | 15,1 | 503,3 |
| 10 | | 7,6 | 126,7 | 9,7 | 161,7 | 11,0 | 183,3 | 12,5 | 208,3 | 14,6 | 243,3 | 16,8 | 280,0 | 18,0 | 300,0 | 19,6 | 326,7 | 21,7 | 361,7 |
| 15 | | 9,4 | 104,4 | 11,9 | 132,2 | 13,4 | 148,9 | 15,3 | 170,0 | 17,8 | 197,8 | 20,4 | 226,7 | 21,9 | 243,3 | 23,8 | 264,4 | 26,3 | 292,2 |
| 20 | | 10,7 | 89,2 | 13,6 | 113,3 | 15,3 | 127,5 | 17,4 | 145,0 | 20,3 | 169,2 | 23,2 | 193,3 | 24,9 | 207,5 | 27,0 | 225,0 | 29,9 | 249,2 |
| 30 | | 12,3 | 68,3 | 15,8 | 87,8 | 17,8 | 98,9 | 20,4 | 113,3 | 23,9 | 132,8 | 27,4 | 152,2 | 29,4 | 163,3 | 32,0 | 177,8 | 35,4 | 196,7 |
| 45 | | 13,8 | 51,1 | 17,9 | 66,3 | 20,4 | 75,6 | 23,5 | 87,0 | 27,6 | 102,2 | 31,8 | 117,8 | 34,3 | 127,0 | 37,3 | 138,1 | 41,5 | 153,7 |
| 60 | | 14,6 | 40,6 | 19,4 | 53,9 | 22,1 | 61,4 | 25,6 | 71,1 | 30,4 | 84,4 | 35,2 | 97,8 | 37,9 | 105,3 | 41,4 | 115,0 | 46,2 | 128,3 |
| 90 | | 16,1 | 29,8 | 21,2 | 39,3 | 24,1 | 44,6 | 27,8 | 51,5 | 32,8 | 60,7 | 37,8 | 70,0 | 40,8 | 75,6 | 44,5 | 82,4 | 49,5 | 91,7 |
| 120 | 2 | 17,3 | 24,0 | 22,6 | 31,4 | 25,6 | 35,6 | 29,4 | 40,8 | 34,7 | 48,2 | 39,9 | 55,4 | 42,9 | 59,6 | 46,8 | 65,0 | 52,0 | 72,2 |
| 180 | 3 | 19,2 | 17,8 | 24,7 | 22,9 | 27,9 | 25,8 | 31,9 | 29,5 | 37,5 | 34,7 | 43,0 | 39,8 | 46,2 | 42,8 | 50,2 | 46,5 | 55,7 | 51,6 |
| 240 | 4 | 20,6 | 14,3 | 26,3 | 18,3 | 29,7 | 20,6 | 33,9 | 23,5 | 39,6 | 27,5 | 45,3 | 31,5 | 48,6 | 33,8 | 52,9 | 36,7 | 58,6 | 40,7 |
| 360 | 6 | 22,8 | 10,6 | 28,8 | 13,3 | 32,3 | 15,0 | 36,8 | 17,0 | 42,8 | 19,8 | 48,8 | 22,6 | 52,4 | 24,3 | 56,8 | 26,3 | 62,9 | 29,1 |
| 540 | 9 | 25,2 | 7,8 | 31,5 | 9,7 | 35,3 | 10,9 | 40,0 | 12,3 | 46,3 | 14,3 | 52,7 | 16,3 | 56,4 | 17,4 | 61,1 | 18,9 | 67,5 | 20,8 |
| 720 | 12 | 27,0 | 6,3 | 33,6 | 7,8 | 37,5 | 8,7 | 42,4 | 9,8 | 49,0 | 11,3 | 55,6 | 12,9 | 59,5 | 13,8 | 64,4 | 14,9 | 71,0 | 16,4 |
| 1080 | 18 | 29,9 | 4,6 | 36,9 | 5,7 | 41,0 | 6,3 | 46,1 | 7,1 | 53,1 | 8,2 | 60,1 | 9,3 | 64,2 | 9,9 | 69,3 | 10,7 | 76,3 | 11,8 |
| 1440 | 24 | 32,1 | 3,7 | 39,4 | 4,6 | 43,6 | 5,0 | 48,9 | 5,7 | 56,2 | 6,5 | 63,5 | 7,3 | 67,7 | 7,8 | 73,0 | 8,4 | 80,3 | 9,3 |
| 2880 | 48 | 42,0 | 2,4 | 50,7 | 2,9 | 55,9 | 3,2 | 62,3 | 3,6 | 71,1 | 4,1 | 79,9 | 4,6 | 85,0 | 4,9 | 91,4 | 5,3 | 100,2 | 5,8 |
| 4320 | 72 | 49,1 | 1,9 | 58,7 | 2,3 | 64,4 | 2,5 | 71,5 | 2,8 | 81,2 | 3,1 | 90,8 | 3,5 | 96,4 | 3,7 | 103,6 | 4,0 | 113,2 | 4,4 |

Angaben in mm: Bemessungsniederschlagswerte h(n)

Angaben in l / (s ha): Regenspende R(n) mit $R(n) = h(n) \times 1,666667 / D[\text{min}]$

Toleranzbereiche:

+/- 10 % für $1 \text{ a} \leq T \leq 5 \text{ a}$

+/- 15 % für $5 \text{ a} < T \leq 50 \text{ a}$

+/- 20 % für $50 \text{ a} < T \leq 100 \text{ a}$

Datenbasis: KOSTRA-DWD-2010R des Deutschen Wetterdienstes. Die Regenspende wurde auf Basis des Bemessungsniederschlags zur jeweiligen Andauer berechnet.

Für die Richtigkeit und Aktualität der Angaben wird keine Gewähr übernommen. Erstellt 07/2022.

Starkniederschlagshöhen und -spenden gemäß KOSTRA-DWD-2010R

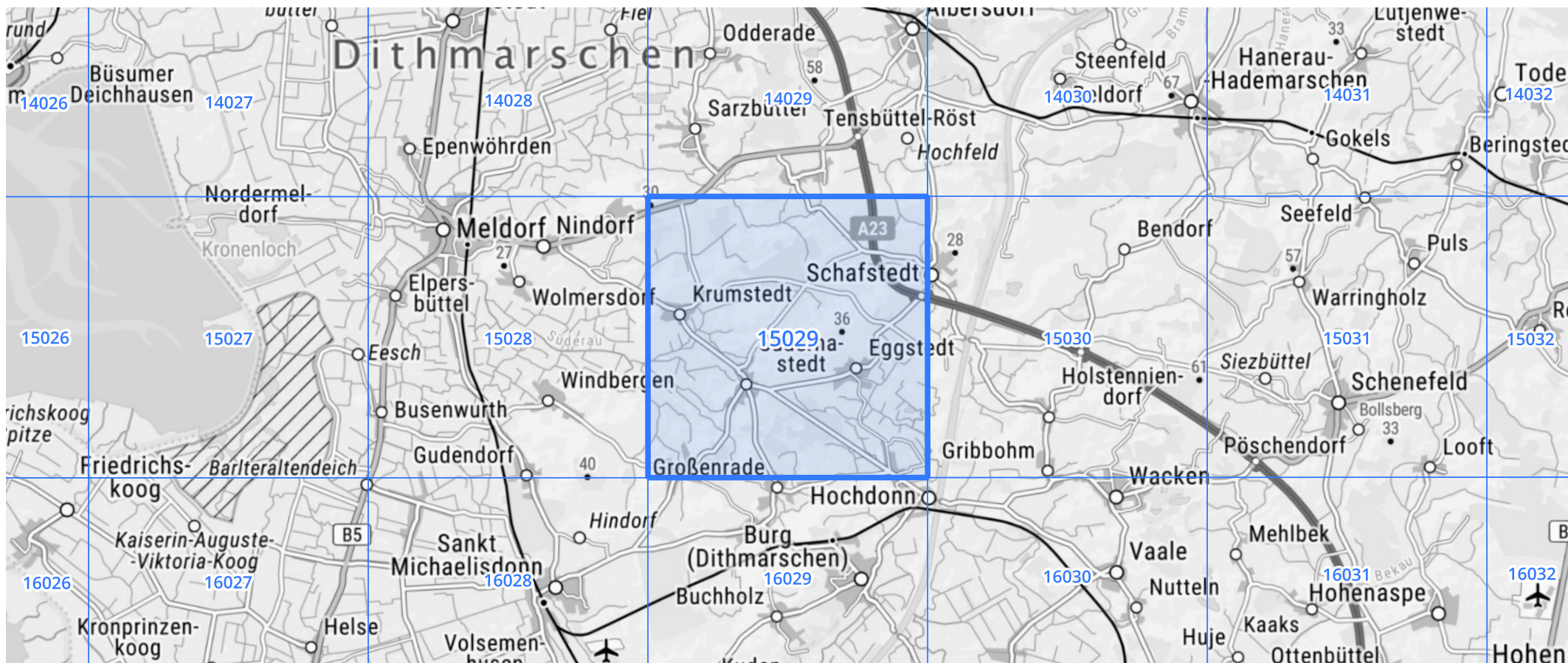
Auswertungszeitraum von 1951 - 2010, Januar - Dezember

Rasterfeld: 15029

Zeile: 15

Spalte: 29

Seite: 2/2



Quelle Rasterdaten: KOSTRA-DWD-2010R des Deutschen Wetterdienstes.

Kartendarstellung: © Bundesamt für Kartographie und Geodäsie (2022), Datenquellen: https://sgx.geodatenzentrum.de/web_public/gdz/datenquellen/Datenquellen_TopPlusOpen.html

Für die Richtigkeit und Aktualität der Angaben wird keine Gewähr übernommen. Erstellt 07/2022.